

# بررسی اثر عوامل هسته‌زا بر تبلور غیرهمدا و خواص مکانیکی پلیپروپیلن

Studing the Effect of Nucleating Agents on Non-isothermal Crystallization and Mechanical Properties of Polypropylene

مليحه خاکستانی<sup>۱</sup>، رضا باقری<sup>۲\*</sup>، مسعود فرونجی<sup>۱</sup>

تهران، دانشگاه صنعتی شریف، ۱ - دانشکده مهندسی شیمی، صندوق پستی ۱۱۳۶۵/۸۶۳۹

۲ - دانشکده مهندسی مواد، صندوق پستی ۱۱۳۶۵/۹۴۶

دریافت: ۸۴/۱۷/۲۹، پذیرش: ۸۵/۵/۹

## چکیده

با توجه به توسعه روز افزون مصرف پلیپروپیلن در صنعت، بهینه‌سازی شرایط تولید و خواص مهندسی این پلیمر مورد نظر پژوهشگران و تولید کنندگان است. افزودن عامل هسته‌زا به عنوان روشی مناسب برای اقتصادی کردن فرایند تولید و بهبود خواص فیزیکی و مکانیکی پلیپروپیلن پیشنهاد شده است. در این پژوهش، اثر افزودن عامل هسته‌زا بر خواص همو و کوپلیپروپیلن بررسی شده است. از سدیم بنزوات و بیس (پارا متیل دی بنزیلیدن) سوربیتول به عنوان عامل هسته‌زا استفاده شد. گراماسنج تفاضل پویشی و پراش پرتون<sup>X</sup> به ترتیب برای تعیین دمای تبلور و مقدار بلورینگی و میکروسکوپ نوری قطبیده به منظور مطالعه ساختار گویچه‌ای نمونه‌ها بکار گرفته شد. اثر عامل هسته‌زا روی خواص مکانیکی از جمله تنفس، تسلیم، مدول کشسان و استحکام ضربه بررسی شد. اثر عوامل هسته‌زا روی افزایش دمای تبلور پلیپروپیلن در همه موارد مشاهده شد، افزودن مشتقات سوربیتول به پلیپروپیلن دمای تبلور را بیش از ۲۰°C افزایش می‌دهد. با استفاده از عامل هسته‌زا مقدار بلورینگی، تنفس تسلیم و مدول کشسان نیز افزایش می‌یابد. اما، استحکام ضربه با افزایش مقدار عامل هسته‌زا از مقداری حد اکثر عبور می‌کند.

## واژه‌های کلیدی

پلیپروپیلن، عامل هسته‌زا،  
بلورینگی، خواص مکانیکی،  
ساختار گویچه‌ای

## مقدمه

است که به طور گستردۀ مطالعه شده است. این ساختار اولین شکل از PP است که در شرایط عادی فرایند بدست می‌آید. از بین ساختارهای بلوری مختلف PP، با استفاده از عامل هسته‌زا تنها می‌توان به دو نوع ساختار بلوری آن یعنی  $\alpha$  و  $\beta$  دست یافت [۱]. عامل هسته‌زا می‌تواند

بهینه‌سازی خواص پلیپروپیلن با توجه به استفاده روز افزون این پلیمر در صنعت اهمیت زیادی یافته است. بدین منظور، از انواع عوامل هسته‌زا به طور گستردۀ ای استفاده شده است. هسته‌زا به طور گستردۀ ای استفاده شده است. PP دارای چهار نوع ساختار بلوری  $\alpha$ ,  $\beta$ ,  $\gamma$  و  $\delta$  است. نوع  $\alpha$  رایج‌ترین ساختار بلوری PP

## Key Words

polypropylene, nucleating agent, crystallinity, mechanical properties, spherulit structure

نسبت طول به قطر (L/D) ۲/۲ و اکسترودر تک پیچ با نسبت طول به قطر ۱۸ بکار گرفته شد.

آزمون تبلور غیر همدما به وسیله دستگاه Perkin-Elmer-DSC7 در محیط گاز خنثی هلیم و آزمایش پراش پرتو X با زاویه باز به وسیله دستگاه زاویه سنج PWB90 مدل Philips با صافی نیکلی و تابش لامپ مسی (Cu  $k_{\alpha}$ ) انجام شد. از میکروسکوپ نوری Olympus مدل BH2 برای مشاهده ساختار گویچه‌ای استفاده شد.

آزمون کشش مطابق با استاندارد ASTM D ۶۳۸ به وسیله دستگاه کشش Hounsfield مدل H10KS انجام شد. مدول کشسان به کمک کرنش سنج اندازه گیری شد. آزمون ضربه مطابق با استاندارد ASTM D ۲۵۶-۸۸ به وسیله دستگاه ضربه پاندولی Santam با ظرفیت J ۵ روی نمونه‌های شیاردار انجام شد.

### روشها

اختلاط عامل هسته‌زا با پلیمر به دو روش انجام شد:

اختلاط NaBz با همو و کوپلی پروپیلن در اکسترودر دوپیچ انجام شد. در این مرحله پیمانه اصلی به غلظت ۰/۵ درصد وزنی تهیه شد. MDBS با همو و کوپلی پروپیلن به وسیله اکسترودر تک پیچ مخلوط شد، دمای نواحی گرمایی آن به ترتیب ۱۹۰، ۲۰۰ و ۲۱۰°C برای اختلاط PP با MDBS و ۱۹۰ و ۲۰۰°C برای اختلاط R40 با MDBS انتخاب شد. نمونه‌ها در درصد وزنی ۰/۲۵، ۰/۵، ۰/۷۵ و ۱ تهیه شدند. سپس، به منظور رقیق‌سازی پیمانه اصلی حاوی NaBz تا درصد های وزنی ۰/۳۵، ۰/۴ و ۰/۵ همچنین تهیه نمونه استاندارد برای آزمونهای کشش و ضربه برای هر دو عامل هسته‌زا از دستگاه تزریق استفاده شد. داده‌های گزارش شده متوسط حداقل سه اندازه گیری در هر مرود است.

برای تعیین دمای تبلور و مقدار بلورینگی با دستگاه DSC، نمونه‌ها با سرعت ۱۰°C/min تا دمای ۲۰۰°C گرم شدند، پس از آن به منظور حذف سابقه گرمایی به مدت ۵ min در این دمای نگه داشته شدند، مجدداً با سرعت ۱۰°C/min تا دمای محیط سرد شدند.

درصد تبلور از نمودار DSC به کمک معادله (۱) محاسبه شد:

$$X_C = \frac{\Delta H_m^0}{\Delta H_m} \quad (1)$$

در این معادله  $\Delta H_m$  آنتالپی ذوب نمونه و  $\Delta H_m^0$  آنتالپی ذوب پلی‌پروپیلن ۱۰۰ درصد بلوری است.

به یکی از شکلهای ناخالصی مثلاً بقایای کاتالیزور، ترکیبات آلی، ترکیبات غیرآلی، بلورهای یک پلیمر دیگر یا حلال (در تبلور از محلول پلیمر) باشد [۲]. عوامل هسته‌زا به منظور کنترل فرایند تبلور استفاده می‌شوند. اولین اثر مهم افزودن هسته‌زا به پلیمرهای نیمه بلوری اثر آن روی عوامل تبلور است، به طوری که دما و سرعت کلی تبلور افزایش می‌یابد. در چند دهه اخیر اثر هسته‌زاها مختلف روی PP بررسی شده است. در بررسی اثر سدیم بنزوات به عنوان عامل هسته‌زا افزایش دما و سرعت تبلور گزارش شده است [۳]. مشتقات سوربیتول نیز به عنوان هسته‌زا و شفاف کننده بخشن گسترده‌ای از پژوهشها را پیرامون هسته‌زاها PP شامل می‌شوند. افزایش دمای تبلور به مقدار قابل توجه ۱۷°C برای دو نمونه از مشتقات سوربیتول گزارش شده است [۴]. مشتقات فسفات از دیگر هسته‌زاها مورد پژوهش‌اند که دمای تبلور را افزایش داده، اثر قابل توجهی روی سرعت تبلور دارند [۵، ۶]. دومین اثر مهم کاربرد هسته‌زا در سامانه‌های پلیمرهای نیمه بلوری، کاهش اندازه متوسط گویچه است که روی خواص مکانیکی و نوری پلیمر اثر می‌گذارد [۷-۹]. بهبود خواص مکانیکی از جمله استحکام کششی، استحکام ضربه، سختی و مدول خمشی از تاییجی است که با افزودن عوامل هسته‌زا ممکن شده است [۷، ۸].

در این پژوهش، اثر افزودن مقادیر مختلف هسته‌زاها سدیم بنزوات و یکی از مشتقات سوربیتول روی فرایند تبلور غیرهمدما، ساختار بلوری، اندازه گویچه، استحکام کششی و ضربه دو نوع پلی‌پروپیلن پرصرف داخلی نوع تزریقی بررسی شده است.

### تجربی

### مواد

پلی‌پروپیلن (iPP) با کد تجاری ۰۸۰ محصول شرکت پتروشیمی بندر امام با شاخص جریان مذاب ۸/۰ g/۱۰min و ۱۹۰°C و چگالی ۲/۱۶ kg/cm<sup>۳</sup> و کوپلی‌پروپیلن با کد تجاری R40 محصول شرکت پتروشیمی ارک با شاخص جریان مذاب ۷ g/۱۰min و ۱۹۰°C و چگالی ۰/۹ g/cm<sup>۳</sup> استفاده شد. در این پژوهش، هموپلیمر با نام اختصاری PP و کوپلیمر با نام اختصاری R40 معرفی شده‌اند. سدیم بنزوات (NaBz) از شرکت Merck آلمان و عامل هسته‌زا از مشتقات سوربیتول (MDBS) (بانام بیس (پارامیتل دی بنزیلیدن) سوربیتول و نام تجاری New Japan Chemical از شرکت GELL ALL MD

### دستگاهها

برای اختلاط هسته‌زا با پلی‌پروپیلن، اکسترودر دوپیچ ناهمسوگرد با

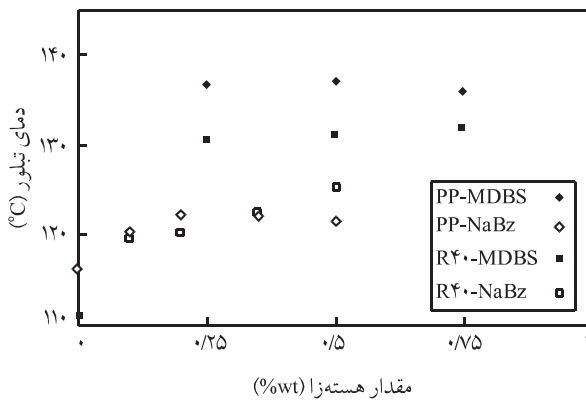
## نتایج و بحث

### اثر عوامل هسته‌زا بر دمای تبلور

افزودن عوامل هسته‌زا به پلیپروپیلن در فرایند تبلور غیرهمدما باعث تغییر دمای تبلور آن می‌شود. تغییرات دمای تبلور و مقدار بلورینگی اندازه گیری شده با دستگاه DSC در جدول ۱ آمده است. روند افزایشی در دمای تبلور برای نمونه‌های دارای هسته‌زا نسبت به پلیپروپیلن بدون هسته‌زا مشاهده می‌شود، به طوری که با افزایش مقدار دو نوع هسته‌زا دمای تبلور افزایش می‌یابد. این افزایش در هسته‌زا MDBS به مقدار  $20/6^{\circ}\text{C}$  برای نمونه هموپلیمر و  $21^{\circ}\text{C}$  برای نمونه کوپلیمر است. به بیان دیگر، هسته‌زا MDBS باعث افزایش نسبتاً یکسان دمای تبلور PP و R $40$  شده است. شکل ۱ تغییر دمای تبلور PP و R $40$  را بر حسب مقدار دو نوع هسته‌زا نشان می‌دهد. افزایش دمای تبلور در مورد هسته‌زا حدود  $6^{\circ}\text{C}$  برای PP و  $14^{\circ}\text{C}$  برای NaBz است. همان‌طور که

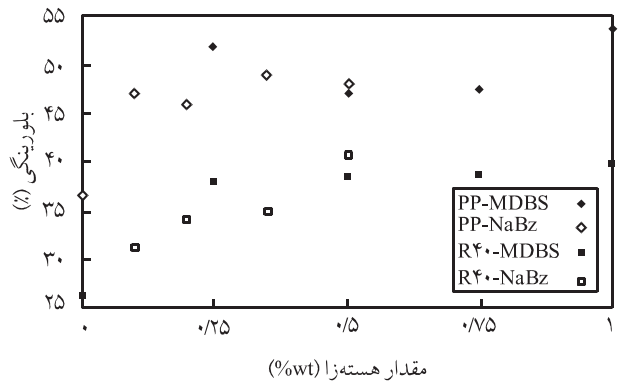
جدول ۱ نتایج اندازه گیری دمای تبلور و مقدار بلورینگی نمونه‌های پلیپروپیلن به وسیله DSC.

X <sub>C</sub> (%)	T <sub>C</sub> (°C)	(%wt)	نوع هسته‌زا	نوع پلیمر	
۳۶/۸	۱۱۶/۴	—	—	هموپلیمر (PP)	
۵۲	۱۳۶/۷	۰/۲۵	MDBS		
۴۷	۱۳۷	۰/۵			
۴۱/۵	۱۳۵/۸	۰/۷۵			
۵۳/۵	۱۳۶/۳	۱	NaBz		
۴۷	۱۲۰/۳	۰/۱			
۴۶	۱۲۲/۳	۰/۲			
۴۹	۱۲۲	۰/۳۵			
۴۸	۱۲۱/۶	۰/۵	کوپلیمر (R $40$ )		
۲۶/۳	۱۱۱	—	—		
۳۸/۱	۱۳۰/۶	۰/۲۵	MDBS		
۳۸/۳	۱۳۱/۲	۰/۵			
۳۸/۷	۱۳۲	۰/۷۵			
۳۹/۷	۱۳۱/۵	۱			
۳۱/۲	۱۱۹/۹	۰/۱	NaBz		
۳۳/۹	۱۲۰/۳	۰/۲			
۳۵	۱۲۲/۵	۰/۳۵			
۴۰/۶	۱۲۵/۱	۰/۵			



شکل ۱ مقایسه تغییر دمای تبلور پلیپروپیلن بر حسب مقدار عوامل هسته‌زا.

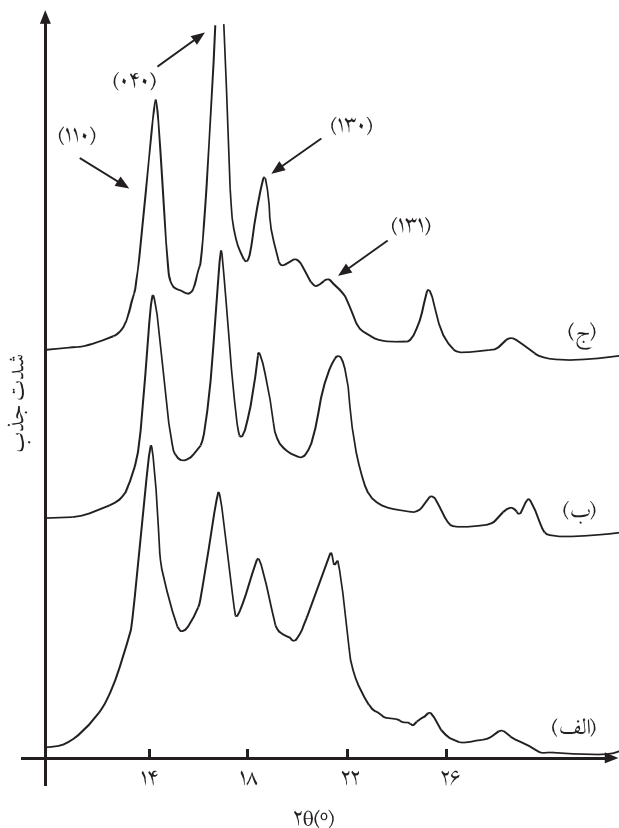
هسته‌زاي MDBS معادل ۵۱ درصد مقدار اوليه است. در حالی که MDBS و NaBz در PP به ترتیب ۲۹ و ۳۷ درصد مقدار اولیه موجب افزایش مقدار بلورینگی می‌شوند. شکل ۲ مقدار بلورینگی محاسبه شده با DSC را برای PP و R<sub>۴۰</sub> نشان می‌دهد. از نظر افزایش مقدار بلورینگی، NaBz برای R<sub>۴۰</sub> بهتر از MDBS بوده در حالی که در PP خلاف این مسئله مشاهده می‌شود. نتایج بدست آمده در این بخش با مشاهدات سایر پژوهشگران در مورد هسته‌زاهاي آلي به ویژه سدیم بنزووات و دیگر مشتقات سوربیتول مطابقت دارد [۷-۱۰]. هر چند همگی افزایش مقدار بلورینگی را گزارش کرده‌اند، اما دلیل واضحی برای آن رائمه نشده است و این افزایش به افزایش نقاط مناسب برای هسته‌زاي نسبت داده شده است [۳]. مقدار بلورینگی از روش پراش پرتو X نیز محاسبه شده است که نتایج آن اختلاف ناچیزی با مقادیری که از روش DSC بدست آمده دارد. شکل‌های ۳ و ۴ پراش پرتو X مربوط به PP و R<sub>۴۰</sub> بدون هسته‌زا و با حداکثر مقدار NaBz و MDBS را نشان می‌دهد. با نگاه دقیق به موقعیت پیک‌ها در دو شکل، ساختار بلوری در زوایای ۱۴، ۱۶/۸، ۱۸/۴، ۲۰/۸ و ۲۱/۶ درجه مشاهده می‌شود که با افروزن



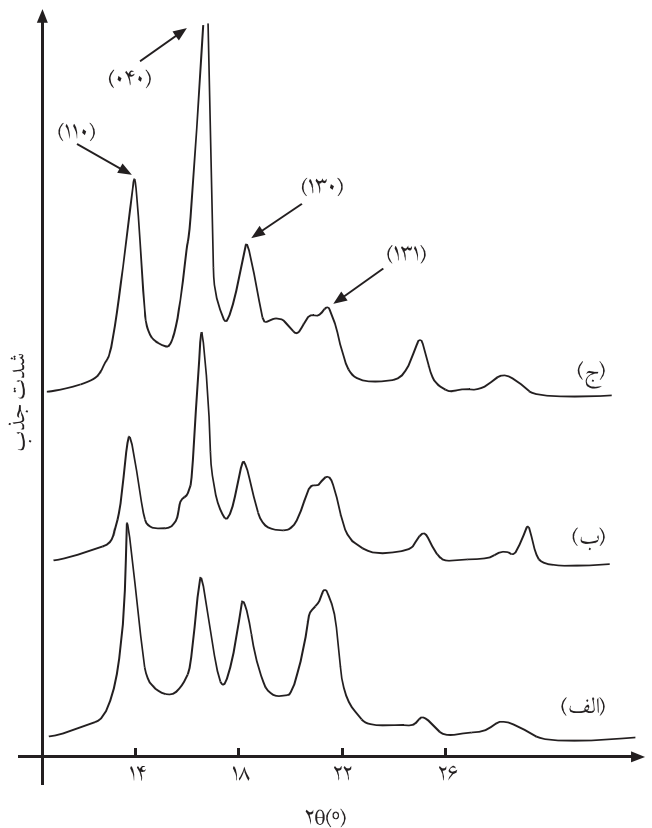
شکل ۲ مقایسه مقدار بلورینگی پلی‌پروپیلن بر حسب مقادیر عوامل هسته‌زا.

### اثر عوامل هسته‌زا بر بلورینگی

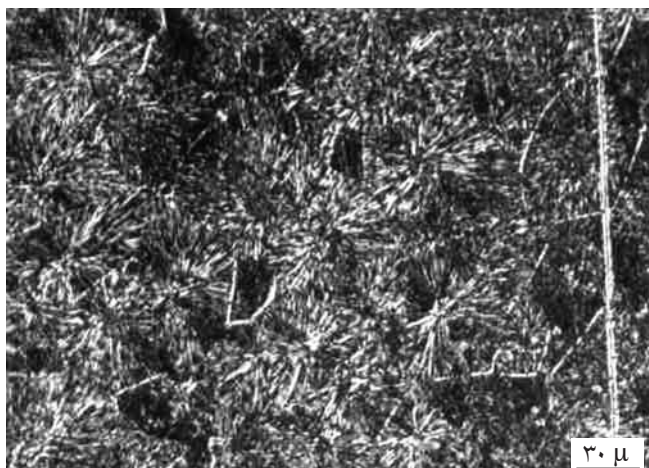
همان طور که نتایج جدول ۱ نشان می‌دهد با افزایش مقدار عامل هسته‌زا مقدار بلورینگی پلی‌پروپیلن افزایش می‌یابد. این افزایش برای دو نوع پلی‌پروپیلن یکسان نیست. به طوری که حداکثر افزایش مقدار بلورینگی R<sub>40</sub> حاوی هسته‌زاي NaBz برابر ۵۴ درصد و برای R<sub>۴۰</sub> دارای ۳۵ درصد



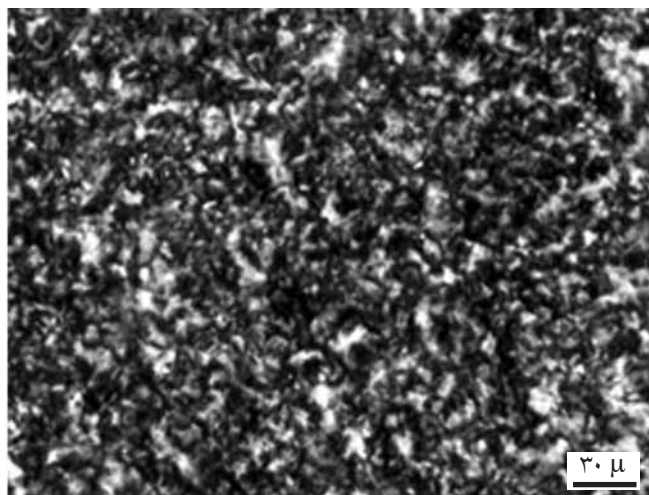
شکل ۴ پیک‌های پراش پرتو X: (الف) R<sub>۴۰</sub>+٪/۵ NaBz، (ب) R<sub>۴۰</sub>+٪/۵ MDBS و (ج) R<sub>۴۰</sub>+٪/۱ MDBS



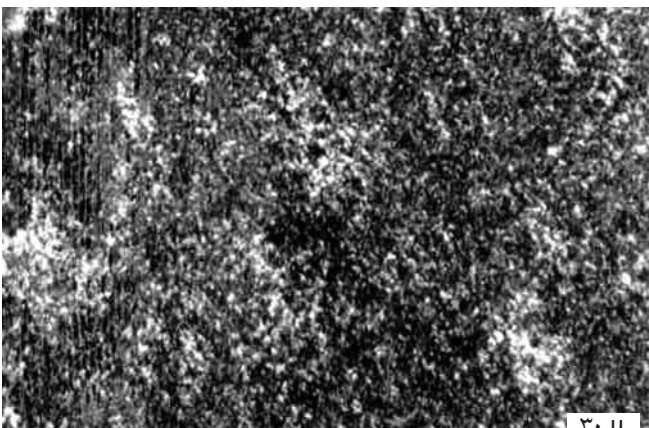
شکل ۳ پیک‌های پراش پرتو X: (الف) PP، (ب) PP+٪/۵ NaBz و (ج) PP+٪/۱ MDBS



(الف)



(ب)



(ج)

شکل ۵ تصاویر SEM ساختار گویچه‌ای نمونه‌ها: (الف) PP، (ب) PP+۰/۲۵MDBS و (ج) PP+۰/۵NaBz.

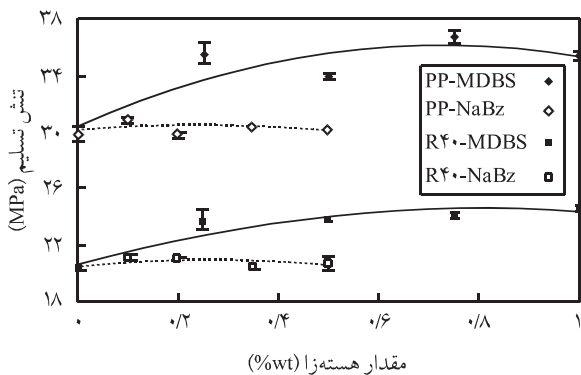
دو نوع هسته‌زا تغییری در محل پیکها رخ نمی‌دهد و ساختار بلوری همچنان  $\alpha$  باقی می‌ماند. افزایش شدت پیکها که نشان از افزایش مقدار بلورینگی دارد در شکلهای ۳ و ۴ کاملاً مشهود است.

#### اثر عوامل هسته‌زا بر ساختار گویچه‌ای

شکلهای ۵ و ۶ به ترتیب ساختار گویچه‌ای را در نمونه‌های پایه PP و R40 نشان می‌دهند. ساختار گویچه‌ای نمونه‌های PP و R40 بدون هسته‌زا در شکلهای ۵ (الف) و ۶ (الف) نشان داده شده است. با بررسی تصاویر میکروسکوپی نمونه‌های PP و R40 دارای هسته‌زای سدیم بنزوات، کاهش قطر گویچه‌ها به وضوح قابل مشاهده است. در مطالعات میکروسکوپی انجام شده روی نمونه‌های PP و R40 حاوی MDBS همان طور که در شکلهای ۵ (ج) و ۶ (ج) نشان داده شده ساختار گویچه‌ای به شدت ریز شده به طوری که میکروسکوپ نوری قابلیت تأمین وضوح تصویر را در بزرگنمایی بیشتر ندارد. در مورد سدیم بنزوات متوسط قطر گویچه‌ها در نمونه‌های PP و R40 بدون هسته‌زا و حاوی ۰/۵ درصد وزنی به ترتیب از ۲۰ به ۲۵  $\mu$  و از ۴۵ به ۲۵  $\mu$  کاهش می‌یابد. همان طور که در تصاویر میکروسکوپی قابل مشاهده است، هسته‌زای MDBS اندازه گویچه را به مراتب، بیشتر از NaBz کاهش می‌دهد. چون ریز شدن گویچه‌ها نشان از تعداد بیشتر آنها دارد، این موضوع حاکی از کثافت مکانهای هسته‌زای است. توزیع و پخش مناسب ذرات هسته‌زای MDBS به دلیل ساختار شیمیایی و فیزیکی ویژه آن (تشکیل شبکه‌ای از رشته‌های بسیار ظرفی به عنوان مرکز هسته‌زای گویچه‌ها هنگام تبلور) نسبت به سدیم بنزوات می‌تواند عملت ریز شدن بسیار زیاد گویچه‌ها در نمونه حاوی MDBS باشد. مطالعات میکروسکوپی سایر پژوهشگران که همگی کاهش اندازه گویچه را گزارش کرده‌اند، مؤید این نتایج است [۱۰، ۳-۵]. در پژوهش‌های که به لحاظ کمی در مورد سینتیک تبلور غیرهمدمای پلیپروپیلن دارای عوامل هسته‌زای نوع سوریتول انجام شده، افزایش تعداد هسته‌های مؤثر تا  $10^3$  برابر گزارش شده است که از علل کاهش بسیار زیاد اندازه گویچه محاسب می‌شود [۴].

#### اثر عوامل هسته‌زا بر خواص کششی

به منظور بررسی اثر عامل هسته‌زا روی خواص کششی مقادیر تنفس تسليم و مدول کشسان نمونه‌ها اندازه‌گیری شد، نتایج در جدول ۲ خلاصه شده است. همان‌طور که در جدول ۲ مشاهده می‌شود هر دو عامل هسته‌زا تنفس تسليم و مدول را افزایش می‌دهند. افزایش تنفس تسليم و مدول با بکارگیری هسته‌زای MDBS به مراتب بیش از NaBz می‌شود [۴].



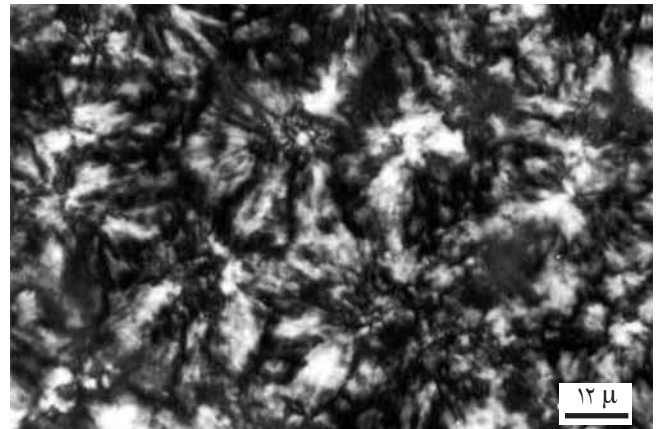
شکل ۷ مقایسه تغییر تنش تسلیم پلی‌پروپیلن بر حسب مقادیر دو نوع عامل هسته‌زا.

است. تحلیل کمی داده‌های جدول نشان می‌دهد هسته‌زای MDBS تنش تسلیم و مدول PP را به ترتیب  $22/5$  و  $43$  درصد و برای  $R40$  مقادیر  $274$  و  $487$  درصد افزایش داده است. مقدار افزایش این خواص در مورد هسته‌زای  $NaBz$  برای PP به ترتیب  $3$  و  $17/8$  و برای  $R40$  مقادیر  $4$  و  $11$  درصد است.

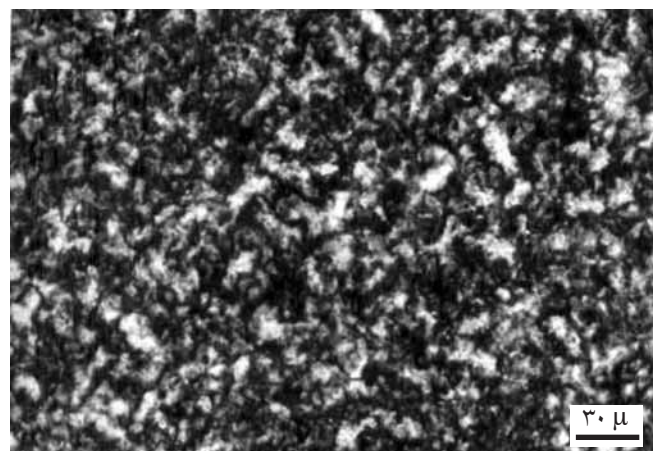
تغییرات تنش تسلیم و مدول  $PP$  و  $R40$  حاوی هسته‌زا به ترتیب در شکلهای  $7$  و  $8$  رسم شده است. در مورد MDBS افزایش قابل ملاحظه تنش تسلیم با افزایش  $0/25$  درصد وزنی مشاهده می‌شود. در مورد دیگر عوامل، نظیر دمای تبلور و اندازه گویچه نیز چنین سرعت افزایشی مشاهده می‌شود. اما، سدیم بنزووات افزایش قابل ملاحظه‌ای را در مقادیر تنش تسلیم و مدول ایجاد نمی‌کند، هر چند کارایی آن در بهبود مدول کشسان بیشتر است. به دلیل مدول بیشتر فاز بلوری نسبت به فاز بی‌شکل، قطعاً با افزایش مقدار بلورینگی، مدول کشسان نیز افزایش می‌یابد. در مورد اثر اندازه گویچه روی رفتار کششی به ویژه مدول، نظرات متفاوتی مطرح شده است [۱۲]. گروهی از پژوهشگران کوچک شدن اندازه گویچه را علت کاهش مدول دانسته‌اند [۱۳]. اما، ارتباط مستقیم بین اندازه گویچه و مدول کشسان منتفی فرض شده است.

#### اثر هسته‌زا بر استحکام ضربه

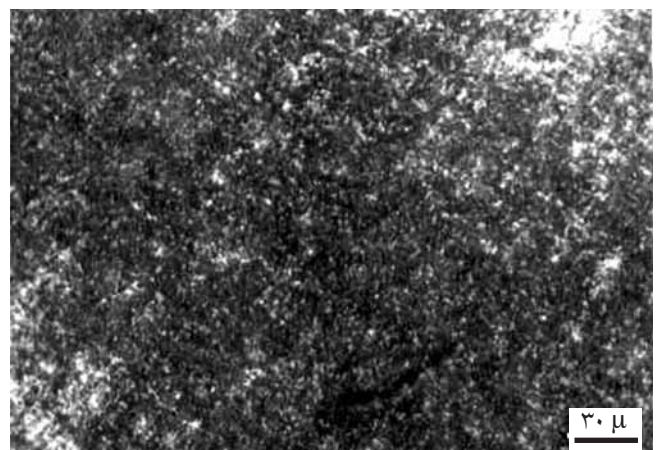
نتایج استحکام ضربه نمونه‌ها در جدول  $2$  آورده شده است. مقایسه تغییرات استحکام ضربه بر حسب مقدار دو نوع هسته‌زا در شکل  $9$  رسم شده است. همان‌طور که در شکل مشاهده می‌شود، تغییر مقدار انرژی جذب شده با افزایش مقدار هسته‌زا تا مقدار معینی ( $0/75$  و  $0/35$  درصد وزنی به ترتیب برای هسته‌زای  $MDBS$  و  $NaBz$  با پایه  $PP$  و  $R40$ ) افزایش یافته، پس از آن کاهش می‌یابد. افزایش بلورینگی سبب کاهش



(الف)



(ب)



(ج)

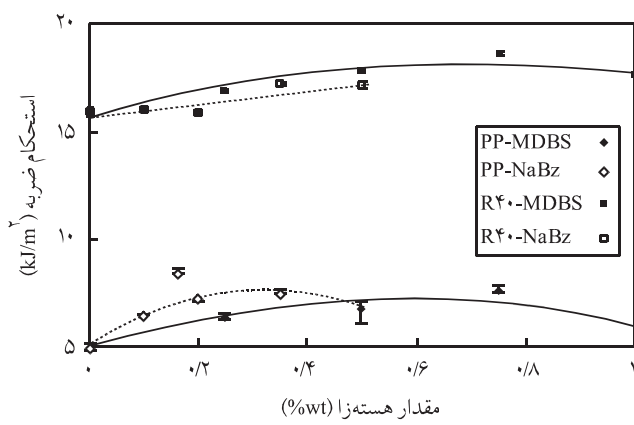
شکل ۶ تصاویر SEM ساختار گویچه‌ای نمونه‌ها: (الف)، (ب)، (ج)  $R40+0/5 NaBz$  و  $R40+0/25 MDBS$

جدول ۲ نتایج اندازه گیری خواص مکانیکی ترکیبات استفاده شده.

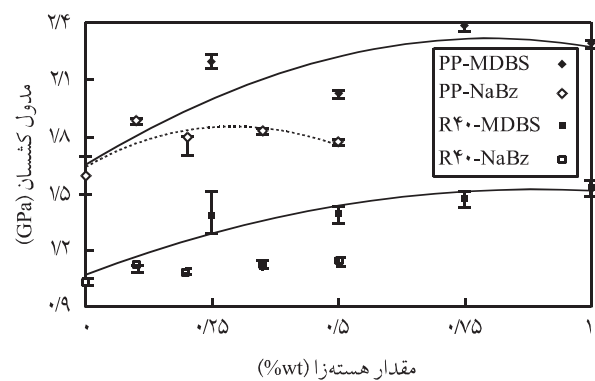
استحکام ضربه (kJ/m <sup>2</sup> )	استحکام ضربه (GPa)	مدول کشسان (MPa)	تنش تسلیم (MPa)	مقدار هسته زا (%wt)	نوع هسته زا	نوع پلیمر
۵	۱/۰۹	۲۹/۹۸	—	—	—	هموپلیمر (PP)
۶/۳۳	۲/۱۹	۳۵/۵۴	۰/۲۵	—	—	
۶/۸۳	۲/۰۲	۳۳/۹۴	۰/۵	—	—	
۷/۰۹	۲/۲۸	۳۶/۷۳	۰/۷۵	—	MDBS	
۵/۹۹	۲/۲۸	۳۵/۳۷	۱	—	—	
۶/۵	۱/۸۸	۳۰/۹۳	۰/۱	—	—	
۷/۲۶	۱/۷۹	۲۹/۹۲	۰/۲	—	—	
۷/۰	۱/۸۱	۳۰/۹۴	۰/۳۵	—	NaBz	
۷	۱/۷۸	۳۰/۱۱	۰/۵	—	—	
۱۵/۸۳	۱/۰۳	۲۰/۳۳	—	—	—	
۱۶/۸۳	۱/۳۸	۲۳/۷	۰/۲۵	—	MDBS	کوپلیمر (R <sup>40</sup> )
۱۷/۸	۱/۳۹	۲۳/۷۵	۰/۵	—	—	
۱۸/۶۶	۱/۴۶	۲۴/۱۸	۰/۷۵	—	—	
۱۷/۵	۱/۵۳	۲۶/۶۹	۱	—	—	
۱۶	۱/۱	۲۷/۲۳	۰/۱	—	NaBz	—
۱۵/۸۳	۱/۰۷	۲۷/۰۶	۰/۲	—	—	—
۱۷/۲۱	۱/۱۲	۲۰/۵	۰/۳۵	—	—	—
۱۷/۱	۱/۱۵	۲۰/۷۸	۰/۵	—	—	—

باریز کردن گویچه ها باعث ایجاد ساختاری با مولکولهای رابط درون و بین گویچه ها شده که در گیری مولکولی بین دانه های بلور را بهبود می بخشد [۹]. بنابراین، استحکام مرز بین گویچه ها افزایش یافته که این

انعطاف پذیری زنجیرهای مولکولی شده، در نهایت باعث کاهش استحکام ضربه می شود. از طرف دیگر، کوچک شدن اندازه گویچه ها یا ریز شدن دانه های بلور برای استحکام ضربه مفید است، عوامل هسته زا



شکل ۹ مقایسه تغییر استحکام ضربه پلی پروپیلن بر حسب مقادیر دو نوع عامل هسته زا.



شکل ۸ مقایسه تغییر مدول کشسان پلی پروپیلن بر حسب مقادیر دو نوع عامل هسته زا.

تقریباً مشابه است. افزودن هسته زای MDBS به PP و R<sub>40</sub> به شدت باعث ریز شدن گویچه ها می شود. این در حالی است که هسته زای NaBz در بیشترین مقدار (۵٪ درصد وزنی) قطر متوسط گویچه PP را از ۶۰ به ۲۰  $\mu$  و قطر متوسط گویچه R<sub>40</sub> را از ۴۵ به ۲۵  $\mu$  کاهش می دهد. افزودن عوامل هسته زای PP و R<sub>40</sub> باعث افزایش تنش تسلیم و مدول کشسان، نسبت به نمونه های بدون هسته زای می شود. ضمن اینکه مقدار افزایش برای نمونه های دارای هسته زای MDBS قابل توجه بوده، اما برای نمونه های دارای هسته زای NaBz قابل ملاحظه نیست. افزودن عوامل هسته زای تا درصد معینی باعث افزایش استحکام ضربه شده شده، پس از آن سبب کاهش استحکام ضربه شده برای نمونه های حاوی هسته زای MDBS قابل ملاحظه بوده، این افزایش در PP و R<sub>40</sub> تقریباً یکسان است. در حالی که این افزایش در هسته زای NaBz کمتر است. همچنین، کارایی سدیم بنزوات برای R<sub>40</sub> بیشتر از PP مشاهده شد. افزایش مقدار بلورینگی حاصل از افزودن هر دو هسته زای PP و R<sub>40</sub> باشد.

مسئله برای بهبود استحکام ضربه مفید است. اما، کاهش استحکام ضربه با افزایش بیشتر مقدار هسته زای به کاهش در ناحیه فعال (کاهش مولکولهای رابط) مربوط می شود [۳].

## نتیجه گیری

در این پژوهش، اثر دو هسته زای آلی روی خواص PP و R<sub>40</sub> بررسی شده است. افزایش دمای تبلور مشاهده شده برای نمونه های حاوی هسته زای MDBS قابل ملاحظه بوده، این افزایش در PP و R<sub>40</sub> تقریباً یکسان است. در حالی که این افزایش در هسته زای NaBz کمتر است. همچنین، کارایی سدیم بنزوات برای R<sub>40</sub> بیشتر از PP مشاهده شد. افزایش مقدار بلورینگی حاصل از افزودن هر دو هسته زای PP و R<sub>40</sub>

## مراجع

1. Karger-Kocsis J., *Polypropylene, Structure, Blends and Composite*, 1st ed., Chapman & Hall, UK, 56-58, 1995.
2. Zweifel H., *Plastic Additives Handbook*, 5th ed., Hanser, Germany, 958-960, 2000.
3. Jang G., Cho W. and Ha C., Crystallization Behavior of Polypropylene with and without Sodium Benzoate as a Nucleating Agent, *J. Polym. Sci., Part B: Polym. Phys.*, **39**, 1001-1016, 2001.
4. Kim Y.C. and Kim C.Y., Crystallization Characteristics of Isotactic Polypropylene with and without Nucleating Agents, *Polym. Eng. Sci.*, **31**, 1009-1014, 1991.
5. Wang K., Mai K. and Zeng H., Isothermal Crystallization Behavior and Melting Characteristics of Injection Sample of Nucleated Polypropylene, *J. Appl. Polym. Sci.*, **78**, 2547-2553, 2001.
6. Gue Q., Xin Z., Zhu W. and Dai G., Effect of an Organic Phosphorus Nucleating Agent on Crystallization Behaviors and Mechanical Properties of Polypropylene, *J. Appl. Polym. Sci.*, **88**, 297-301, 2003.
7. Xu T., Lei H. and Xie C.S., The Research on Aggregation Structure of PP Materials under Different Condition and the Influence on Mechanical Properties, *Mater. Design*, **23**, 709-715, 2002.
8. Xu T., Lei H. and Xie C.S., The Effect of Nucleating Agent on the Crystalline Morphology of Polypropylene, *Mater. Design*, **24**, 227-230, 2003.
9. Xu T., Yu J. and Jin Z., Effects of Crystalline Morphology on the Impact Behavior of Polypropylene, *Mater. Design*, **22**, 27-31, 2001.
10. Zhang R., Zhang H., Lou X. and Ma D., Cystallization Characteristics of Polypropylene and Low Ethylene Content Polypropylene Copolymer with and without Nucleating Agents, *J. Appl. Polym. Sci.*, **51**, 51-56, 1994.
11. Feng Y., Jin X. and Hay N., Effect of Nucleating Agent on Crystallization of Isotactic Polypropylene, *J. Appl. Poylm. Sci.*, **69**, 2089-2095, 1998.
12. Ahmed S. and Basfar A., Influence of Benzoic Acid on Thermal, Crystallization and Mechanical Properties of Isotactic Polypropylene under Irradiation, *Nuclear Instruments & Method in Physics Research, Section B*, **151**, 169-173, 1999.
13. Chan C.M., Wu J., Li J.X. and Cheung Y.K., Polypropylene/ Calcium Carbonate Nanocomposites, *Polymer*, **43**, 2981-2992, 2002.